

· 实验研究 ·

脉冲 $1.44\text{ }\mu\text{m}$ 与 $1.06\text{ }\mu\text{m}$ Nd:YAG 激光对犬胃壁作用组织效应的比较研究^{*}

李文志 孙智 刘筑闻^① 黄剑锋 郝林鹤 张志宏 林煌 王建明^② 张盛伏^②

(首都医科大学附属北京安贞医院整形美容和激光医学科, 北京 100029)

【摘要】目的 比较脉冲 $1.44\text{ }\mu\text{m}$ 与 $1.06\text{ }\mu\text{m}$ 波长 Nd:YAG 激光对犬胃壁作用的异同, 评价 $1.44\text{ }\mu\text{m}$ 激光的组织效应特点。**方法** 比格犬 5 只, 采用同体对照, 分别应用 $1.44\text{ }\mu\text{m}$ (实验组)与 $1.06\text{ }\mu\text{m}$ (对照组)脉冲 Nd:YAG 激光, 由单脉冲能量 $200, 500, 800\text{ mJ}$, 每次照射脉冲数为 $1, 5, 10, 20, 40, 80$, 组成 19 种剂量(包括 1 个零剂量指标), 对胃后壁黏膜进行活体照射。实验重复 5 遍。损伤灶切取标本, 制作切片, 光学观察, 计算机成像与测量。**结果** 实验组与对照组, 汽化宽度最大值分别为 $(1863.8 \pm 225.0)\text{ }\mu\text{m}$ 和 $(576.8 \pm 30.8)\text{ }\mu\text{m}$ ($t = 12.672, P = 0.000$); 凝固宽度最大值分别为 $(885.1 \pm 82.9)\text{ }\mu\text{m}$ 和 $(1275.8 \pm 140.1)\text{ }\mu\text{m}$ ($t = -5.366, P = 0.001$); 汽化深度最大值分别为 $(1787.4 \pm 93.7)\text{ }\mu\text{m}$ 和 $(105.0 \pm 16.3)\text{ }\mu\text{m}$ ($t = 39.539, P = 0.000$), 凝固深度最大值分别为 $(1327.8 \pm 86.3)\text{ }\mu\text{m}$ 和 $(994.8 \pm 130.0)\text{ }\mu\text{m}$ ($t = 4.773, P = 0.002$)。**结论** $1.44\text{ }\mu\text{m}$ 激光对犬胃黏膜有汽化与凝固止血作用, 其汽化能力远大于 $1.06\text{ }\mu\text{m}$ 激光, 其凝固作用稍弱于 $1.06\text{ }\mu\text{m}$ 激光, 但足以保障实验创面的清洁与止血效果。

【关键词】 脉冲激光; $1.44\text{ }\mu\text{m}$ Nd:YAG; 组织效应; 胃

中图分类号:R-332

文献标识:A

文章编号:1009-6604(2009)09-0817-05

Histological Effects of $1.44\text{-}\mu\text{m}$ and $1.06\text{-}\mu\text{m}$ Pulse Nd: YAG Laser on Stomach Wall in Dogs: Comparative Study Li Wenzhi*, Sun Zhi*, Liu Zhuwen, et al. * Department of Plastic Surgery and Laser Medicine, Beijing Anzhen Hospital, Capital Medical University, Beijing 100029, China

【Abstract】Objective To compare the histological effects of $1.44\text{-}\mu\text{m}$ and $1.06\text{-}\mu\text{m}$ pulse Nd: YAG laser radiation on stomach wall tissues in dogs. **Methods** Five beagle dogs were enrolled in this study to received $1.44\text{-}\mu\text{m}$ (experiment group) and $1.06\text{-}\mu\text{m}$ (self-control group) pulse Nd: YAG laser radiation at the posterior wall of the stomach. Totally 19 dosage of radiation was used including a 0-mJ radiation. The dosage of every single pulse was $200, 500$, or 800 mJ , and the amount of the pulses was $1, 5, 10, 20, 40$ or 80 . The experiment was repeated for 5 times. Afterwards, the injured tissues was obtained and observed under a light microscope and the photomicrograph was taken at the meantime. **Results** In experimental groups, the widest and photoevaporated zone and coagulation zone were $(1863.8 \pm 225.0)\text{ }\mu\text{m}$ and $(885.1 \pm 82.9)\text{ }\mu\text{m}$, and the deepest photoevaporated zone and coagulation zone were $(1787.4 \pm 93.7)\text{ }\mu\text{m}$ and $(1327.8 \pm 86.3)\text{ }\mu\text{m}$, respectively; which were significantly higher than those in the control [widest and photoevaporated zone and coagulation zone: $(576.8 \pm 30.8)\text{ }\mu\text{m}$ and $(1275.8 \pm 140.1)\text{ }\mu\text{m}$, $t = 12.672, P = 0.000$ and $t = -5.366, P = 0.001$; deepest photoevaporated zone and coagulation zone: $(105.0 \pm 16.3)\text{ }\mu\text{m}$ and $(994.8 \pm 130.0)\text{ }\mu\text{m}$, $t = 39.539, P = 0.000$ and $t = 4.773, P = 0.002$; respectively]. **Conclusions** $1.44\text{-}\mu\text{m}$ Nd: YAG laser is suitable for vaporization and coagulation in stomach surgery. It shows higher ability in vaporization but lower ability of coagulation than $1.06\text{-}\mu\text{m}$ pulse Nd: YAG laser radiation, which, however does not affect the outcomes of wound cleansing and hemostasis.

【Key Words】 Pulse Laser; $1.44\text{-}\mu\text{m}$ Nd:YAG; Histological Effects; Stomach

$1.06\text{ }\mu\text{m}$ Nd:YAG 激光曾在胃部肿物与出血的介入治疗中发挥过重要作用, 具有透入组织深, 凝固、止血好的特点, 尽管它还有汽化速度慢、创面不

易愈合、易穿孔等缺点, 但因国内产品成熟, 价格便宜, 性能稳定, 获得了广泛应用。 $1.44\text{ }\mu\text{m}$ 激光近年来进入临床, 其水吸收系数比 $1.06\text{ }\mu\text{m}$ 波长激光高

* 基金项目:北京市自然科学基金(编号 4062016)

① (首都医科大学生物医学工程学院, 北京 100069)

② (北京光电技术研究所, 北京 100010)

百倍,具有更高的理论切割效率。我们设计动物实验,希望通过脉冲 $1.44 \mu\text{m}$ 与 $1.06 \mu\text{m}$ Nd:YAG 激光对胃黏膜作用的比较研究,分析脉冲 $1.44 \mu\text{m}$ Nd:YAG 激光的组织效应特点,为临床应用研究提供实验依据。

1 材料与方法

1.1 材料

比格犬 5 条,雄性,平均体重 12.7 kg ($10.9 \sim 16.2 \text{ kg}$)。设备由北京光电技术研究所提供,YY30 型 $1.44 \mu\text{m}$ 与 $1.06 \mu\text{m}$ 双波长脉冲 Nd:YAG 激光治疗机,最大脉宽 $640 \mu\text{s}$,频率 $1 \sim 20 \text{ Hz}$,最大单脉冲能量 1000 mJ ,光纤直径 $600 \mu\text{m}$ 。显微镜为 ZEISS Axioskop40 [蔡司光学仪器(上海)国际贸易有限公司],能量计为 AC15/6 直流复射式检流计(上海电表厂)。标本切片染色后,采用“MIAS 医学图像分析管理系统——真彩色病理图像分析系统 4.0”成像与计算机测量。

1.2 方法

1.2.1 实验分组与激光参数设定 应用 $1.44 \mu\text{m}$ 脉冲激光组为实验组,应用 $1.06 \mu\text{m}$ 脉冲激光组为对照组,参数均选择脉宽 $640 \mu\text{s}$,频率 5 Hz ,脉冲间隔 199.36 ms ,光斑直径 1.13 mm ,单脉冲能量(E)为 $200, 500, 800 \text{ mJ}$,每次照射脉冲数为 $1, 5, 10, 20, 40, 80$ 。上述参数在每组均组成 19 种剂量(1 个零剂量指标,和由 3 个单脉冲能量参数与 6 个脉冲数参数配对组成的 18 种剂量指标)(表 1)。5 条犬,实验重复 5 遍,各犬实验过程相同。

表 1 实验剂量的参数结构

单脉冲能量(mJ)	每次脉冲数	实验剂量编号
0	0	L_0
200	1	L_1
	5	L_2
	10	L_3
	20	L_4
	40	L_5
	80	L_6
500	1	L_7
	5	L_8
	10	L_9
	20	L_{10}
	40	L_{11}
	80	L_{12}
800	1	L_{13}
	5	L_{14}
	10	L_{15}
	20	L_{16}
	40	L_{17}
	80	L_{18}

1.2.2 动物实验与标本切片制备 实验犬采用 3% 戊巴比妥钠腹腔注射麻醉,成功后仰卧固定在专用手术台上,沿中线打开腹腔,暴露胃。在胃体部前壁无血管区,沿大弯平行方向切开,显露后壁。用操作手柄把持光纤并固定到操作支架后,使其轴线垂直且直接接触靶点组织面,不施加外力。实验与对照组由低向高按编号应用 19 种剂量自距贲门 5 cm 开始向幽门方向依次进行照射。各损伤灶间距 $>1 \text{ cm}$ 。辐照前后均即时检测激光输出能量。30 min 后,各激光照射点均以损伤灶为中心,快速切取 $1 \text{ cm} \times 1 \text{ cm}$ 全层活体标本,半分钟内浸入 10% 甲醛溶液固定,24 h 内制作 $8 \mu\text{m}$ 厚连续石蜡切片,苏木精和曙红染色,用于光学显微镜观察。

1.2.3 组织学观察与计算机测量 将各组激光汽化最深的切片作为观测切片,数字扫描显微镜观测,扫描为数字影像储存在计算机中。以组织表面为横轴,以经汽化穴坑最深点的横轴垂线为纵轴建立坐标系(图 1)。应用“MIAS 医学图像分析管理系统——真彩色病理图像分析系统 4.0”软件,在横轴上,测量中央区组织汽化缺损和(或)炭化最外侧点间距离 X_1 与两侧组织细胞形变、细胞核固缩区最外缘间距离 X_2 , X_1 为汽化宽度, $(X_2 - X_1)/2$ 为凝固宽度;在纵轴上,测量从零点到组织汽化缺损和(或)炭化最深点之间的距离 Y_1 与该最深点到细胞形变与细胞核固缩区最深点之间的距离 Y_2 , Y_1 为汽化深度, Y_2 为凝固深度。采用 SPSS13.0 统计学软件进行数据处理,组间比较用 t 检验,结果以 $\bar{x} \pm s$ 表示。

2 结果

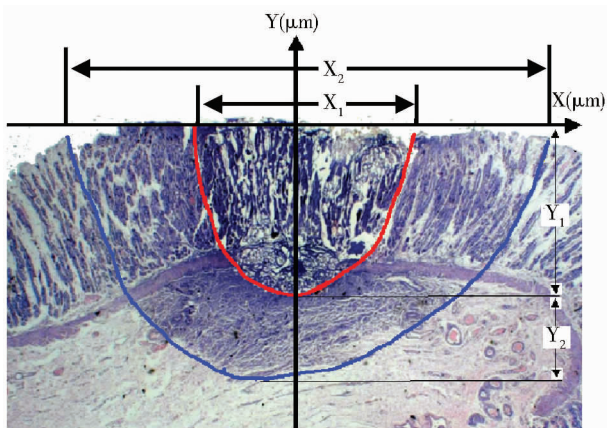
2.1 肉眼观察

实验组激光照射时,发出“啪、啪”声,能量增大可产生组织飞溅。 L_1, L_2, L_3 等较低剂量条件时,靶点黏膜几无反应或仅出现“白点”,1 分钟后消失,随剂量增大,黏膜隆起,进而中央区炭化、凹陷,出现圆形损伤灶。损伤灶周边质韧,呈灰白色,中央为“凹坑”。实验过程中,各损伤灶无活动性出血。

对照组激光照射时,可听到“噗、噗”声,不如实验组清脆。 L_1, L_2, L_3 等较低剂量条件时,作用点无反应或反应轻微,随剂量增大,黏膜表面方出现表浅的白色圆形灶,中央凹陷不明显。只在 L_{18} 组才出现了周围隆起,中央“凹坑”的损伤灶。

2.2 组织学观察

低倍镜下,两种波长激光的损伤灶均呈类圆锥形,局部染色嗜酸。根据着色深浅及细胞形态改变可由内向外依次分为汽化(炭化)区、凝固坏死带、水肿带。实验组的损伤灶在大多数剂量条件的切片

图 1 光镜下胃壁的损伤灶(HE 染色 $\times 40$)

X 轴平行胃黏膜表面, Y 轴经汽化穴坑最深点并与 X 轴垂直。
 X_1 为汽化宽度, $(X_2 - X_1)/2$ 为凝固宽度; Y_1 为汽化深度, Y_2 为凝固深度。

中均可观察到上述分区图像;而对照组的标本切片,仅在最大剂量组才出现上述表现,多数切片未见损伤灶。

实验组汽化区表现为“凹坑”处胃黏膜与部分黏膜下组织消失,或呈条索样网状分布的无结构蓝色深染带,若有炭化则呈黄褐色的干结组织,与凝固区分离。凝固坏死区较周围组织蓝染,颜色均匀,低倍镜下可见组织结构,高倍镜下则黏膜细胞变形,核固缩或消失,血管闭塞、消失;黏膜下纤维组织断裂、增粗。水肿带较薄,为围绕凝固坏死带周边的浅染带(图 2a)。

对照组激光无明显汽化区,仅在一组切片观察到少许汽化与炭化;凝固性坏死带较厚,脉冲能量高时,可出现一定的凝固区;凝固带外有水肿带,较实验组的水肿带厚(图 2b)。

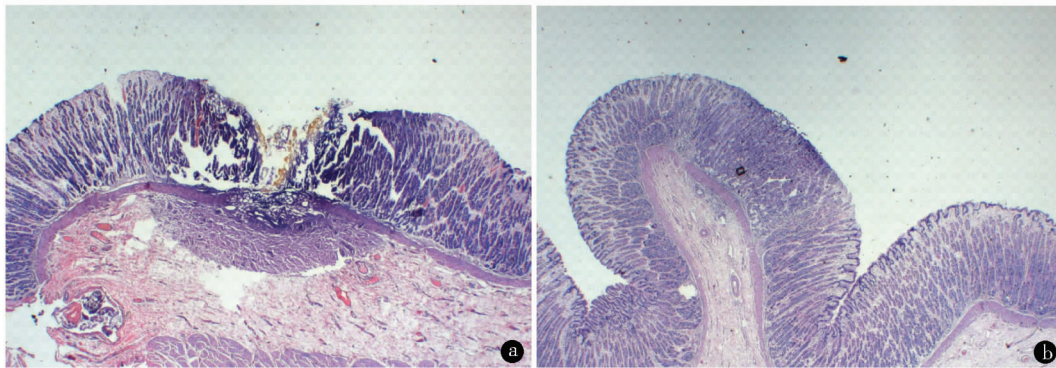


图 2 1.44 μm 激光(a)和 1.06 μm 激光(b)作用于胃壁后损伤灶的组织学表现
 (参数均为 800 mJ、每次脉冲数 80, HE 染色 $\times 40$)

2.3 组织测量结果

实验组与对照组,在相同剂量条件下测量结果存在明显差异。实验组在 L_0 、 L_1 、 L_2 、 L_3 、 L_7 与 L_{13} 剂量,病理未见组织损伤;在 L_8 和 L_{14} 剂量,镜下刚能观测到凝固(坏死)数据;其余 11 个剂量条件能完整观测汽化、凝固数据。汽化宽度最大值为 $(1863.8 \pm 225.0) \mu\text{m}$,凝固宽度最大值为 $(885.1 \pm 82.9) \mu\text{m}$,汽化深度最大值为 $(1787.4 \pm 93.7) \mu\text{m}$,均出现在剂量为 L_{18} 时;凝固深度最大值为 $(1327.8 \pm 86.3) \mu\text{m}$,出现在剂量为 L_{12} 时。对照组大部分切片未见组织损伤,只有 L_6 、 L_{11} 、 L_{12} 、 L_{17} 和 L_{18} 剂量条件下能测量到凝固(坏死)数据,汽化宽度最大值为 $(576.8 \pm 30.8) \mu\text{m}$,凝固宽度最大值为 $(1275.8 \pm 140.1) \mu\text{m}$,汽化深度最大值为 $(105.0 \pm 16.3) \mu\text{m}$,均出现在剂量为 L_{18} 时;凝固深度最大值为 $(994.8 \pm 130.0) \mu\text{m}$,出现在剂量为 L_{12} 时。统计

学分析显示,实验与对照组在有可测切片情况下,除 L_{17} 剂量条件时凝固宽度无统计学意义外, L_6 、 L_{11} 、 L_{12} 、 L_{17} 和 L_{18} 剂量条件汽化宽度、凝固宽度、汽化深度、凝固深度均 $P < 0.01$,有非常显著意义(表 2、3)。

3 讨论

1.44 μm 波长激光最早发现于 1978 年^[1],因粒子受激辐射截面小,在模竞争中不易产生振荡等原因,国际上一直未引起重视^[2,3]。1.44 μm Nd:YAG 激光与 1.06 μm 波长激光同由 Nd:YAG 晶体辐射产生^[3,4],通过转换可实现单独输出,具有 Nd:YAG 激光的设备优势。1.44 μm 波长激光作为较新型医用激光器,有关组织效应方面的研究很少,近年方见零星探索性研究与应用报告^[5-9]。

表 2 实验与对照组汽化测量数据与比较($\bar{x} \pm s$)

μm

剂量 编号	汽化宽度					汽化深度		
	实验组	对照组	t 值	P 值	实验组	对照组	t 值	P 值
L ₀	—(n=0)	—(n=0)	—	—	—(n=0)	—(n=0)	—	—
L ₁	—(n=0)	—(n=0)	—	—	—(n=0)	—(n=0)	—	—
L ₂	—(n=0)	—(n=0)	—	—	—(n=0)	—(n=0)	—	—
L ₃	—(n=0)	—(n=0)	—	—	—(n=0)	—(n=0)	—	—
L ₄	402.4 ± 12.4(n=5)	—(n=0)	—	—	104.8 ± 6.4(n=5)	—(n=0)	—	—
L ₅	633.8 ± 32.0(n=5)	—(n=0)	—	—	175.6 ± 7.7(n=5)	—(n=0)	—	—
L ₆	763.0 ± 65.8(n=5)	0.0 ± 0.0(n=5)	25.916	0.000	278.4 ± 28.9(n=5)	0.0 ± 0.0(n=5)	21.565	0.000
L ₇	—(n=0)	—(n=0)	—	—	—(n=0)	—(n=0)	—	—
L ₈	0.0 ± 0.0(n=5)	—(n=0)	—	—	0.0 ± 0.0(n=5)	—(n=0)	—	—
L ₉	147.8 ± 53.7(n=5)	—(n=0)	—	—	153.7 ± 25.5(n=5)	—(n=0)	—	—
L ₁₀	483.4 ± 24.5(n=5)	—(n=0)	—	—	157.4 ± 14.2(n=5)	—(n=0)	—	—
L ₁₁	455.8 ± 37.5(n=5)	0.0 ± 0.0(n=5)	27.165	0.000	255.7 ± 21.3(n=5)	0.0 ± 0.0(n=5)	26.854	0.000
L ₁₂	600.8 ± 24.7(n=5)	0.0 ± 0.0(n=5)	54.497	0.000	377.0 ± 39.8(n=5)	0.0 ± 0.0(n=5)	21.161	0.000
L ₁₃	0.0(n=1)	—(n=0)	—	—	0.0(n=1)	—(n=0)	—	—
L ₁₄	0.0(n=5)	—(n=0)	—	—	0.0 ± 0.0(n=5)	—(n=0)	—	—
L ₁₅	186.2 ± 73.0(n=5)	—(n=0)	—	—	165.2 ± 26.4(n=5)	—(n=0)	—	—
L ₁₆	1113.2 ± 96.9(n=5)	—(n=0)	—	—	373.2 ± 21.8(n=5)	—(n=0)	—	—
L ₁₇	1600.0 ± 102.0(n=5)	0.0 ± 0.0(n=5)	35.060	0.000	760.4 ± 38.4(n=5)	0.0 ± 0.0(n=5)	44.283	0.000
L ₁₈	1863.8 ± 225.0(n=5)	576.8 ± 30.8(n=5)	12.672	0.000	1787.4 ± 93.7(n=5)	105.0 ± 16.3(n=5)	39.539	0.000

n 为产生汽化、炭化、凝固、水肿等组织反应的可测切片数表 3 实验与对照组凝固测量数据与比较($\bar{x} \pm s$)

μm

剂量 编号	凝固宽度					凝固深度		
	实验组	对照组	t 值	P 值	实验组	对照组	t 值	P 值
L ₀	—(n=0)	—(n=0)	—	—	—(n=0)	—(n=0)	—	—
L ₁	—(n=0)	—(n=0)	—	—	—(n=0)	—(n=0)	—	—
L ₂	—(n=0)	—(n=0)	—	—	—(n=0)	—(n=0)	—	—
L ₃	—(n=0)	—(n=0)	—	—	—(n=0)	—(n=0)	—	—
L ₄	410.7 ± 13.9(n=5)	—(n=0)	—	—	360.4 ± 8.7(n=5)	—(n=0)	—	—
L ₅	107.0 ± 18.5(n=5)	—(n=0)	—	—	442.8 ± 22.4(n=5)	—(n=0)	—	—
L ₆	231.5 ± 24.8(n=5)	348.3 ± 24.9(n=5)	-7.434	0.000	569.6 ± 22.9(n=5)	658.2 ± 37.9(n=5)	-4.469	0.000
L ₇	—(n=0)	—(n=0)	—	—	—(n=0)	—(n=0)	—	—
L ₈	152.7 ± 49.7(n=5)	—(n=0)	—	—	127.2 ± 27.4(n=5)	—(n=0)	—	—
L ₉	327.6 ± 55.3(n=5)	—(n=0)	—	—	641.3 ± 82.2(n=5)	—(n=0)	—	—
L ₁₀	549.4 ± 17.2(n=5)	—(n=0)	—	—	833.2 ± 30.5(n=5)	—(n=0)	—	—
L ₁₁	643.5 ± 38.0(n=5)	398.7 ± 59.6(n=5)	7.749	0.000	1224.4 ± 44.4(n=5)	501.8.0 ± 48.7(n=5)	24.501	0.000
L ₁₂	788.2 ± 70.5(n=5)	541.5 ± 91.9(n=5)	4.762	0.002	1327.8 ± 86.3(n=5)	994.8 ± 130.0(n=5)	4.773	0.002
L ₁₃	201.0(n=1)	—(n=0)	—	—	101.0(n=1)	—(n=0)	—	—
L ₁₄	319.4 ± 26.8(n=5)	—(n=0)	—	—	552.1 ± 34.3(n=5)	—(n=0)	—	—
L ₁₅	487.1 ± 62.8(n=5)	—(n=0)	—	—	1316.4 ± 132.9(n=5)	—(n=0)	—	—
L ₁₆	693.1 ± 96.7(n=5)	—(n=0)	—	—	930.7 ± 64.5(n=5)	—(n=0)	—	—
L ₁₇	839.0 ± 51.2(n=5)	781.2 ± 67.5(n=5)	1.152	0.168	867.8 ± 34.1(n=5)	734.6 ± 58.0(n=5)	4.425	0.004
L ₁₈	885.1 ± 82.9(n=5)	1275.8 ± 140.1(n=5)	-5.366	0.001	521.8 ± 29.7(n=5)	864.2 ± 75.5(n=5)	-9.430	0.000

n 为产生汽化、炭化、凝固、水肿等组织反应的可测切片数

1.44 μm 激光的水吸收率为 29.7/cm, 1.06 μm 激光的水吸收率为 0.174/cm, 两者相差百倍, 这种水吸收率的差异在胃组织效应实验中得到充分体现。具体表现是: ①实验中靶点的声光现象与局部组织反应, 1.44 μm 激光明显强于 1.06 μm 激光。②镜下观察应用较低剂量 1.44 μm 激光的切片, 就能观测到组织变化; 而镜下观察应用 1.06 μm 激光

的切片, 需在应用较高剂量条件时才能观测到组织病理改变, 到应用最大剂量条件(L₁₈)时, 实验才得到全部 4 组测量数据。

由表 2 可知, 实验与对照组的最大汽化宽度与汽化深度值均出现在应用 L₁₈ 剂量时, 说明: ①两种激光的汽化能力均与剂量有关, 单脉冲能量越大, 每

(下转第 840 页)

次照射脉冲数越多,汽化测量值就越大;②若汽化损伤灶为类圆锥形,体积公式为 $\pi r^2 h/3$,则在 L₁₈组相同剂量条件下,1.44 μm 激光比 1.06 μm 激光,汽化宽度(X₁)约大 3 倍,汽化深度(Y₁)约大 17 倍,汽化体积约大 177 倍。因此,1.44 μm 激光的汽化能力远大于 1.06 μm 激光。

由表 3 可知,实验组最大凝固宽度约为对照组的 70%,说明实验组的凝固止血作用弱于对照组。但实验过程中,靶点创面清洁,未出现活动性出血,证明实验组的凝固带能够产生确实的止血效果。

由统计学数据分析可知,实验组与对照组的绝大部分比较结果均有非常显著意义($P < 0.01$)。但凝固宽度 L₁₇ 的 $P = 0.168$,无统计学意义。分析凝固宽度的所有数据可见,由于两种波长激光的巨大水吸收差异,使实验组在实验剂量较低时,组织效应就比较明显了,而对照组仍然处在逐渐增强过程中,到 L₁₇ 剂量时,两组的凝固宽度值比较接近,L₁₈ 剂量时,对照组的测量值已明显反超。

综上所述,实验表明,1.44 μm 激光对犬胃黏膜有汽化与凝固止血作用,其汽化能力远大于 1.06 μm 激光,其凝固作用稍弱于 1.06 μm 激光,但足以保障试验创面的清洁与止血效果。

参考文献

- 1 Marling J. 1.05 – 1.44 μm tenability and performance of the CW Nd³⁺:YAG laser. IEEE J Quantum Electron, 1978, 1(14): 56 – 62.
- 2 梁志远,张盛伏,王建明. 多腔镜 1.44 μm 波长 Nd:YAG 激光器的实现. 激光技术, 2006, 30(3): 286 – 288.
- 3 Hodgson N, Golding DJ, Eisel D. Efficient high power operation at 1.44 μm of Nd-doped crystals. SPIE, 1994, 2206: 426 – 436.
- 4 Hodgson N, Nighan WL, Golding DJ, et al. Efficient 100W Nd:YAG laser operating at a wavelength of 1.44 μm. Opt Lett, 1994, 19(17): 1328 – 1330.
- 5 Shakhov AV, Terentjeva AB, Kamensky VA, et al. Optical coherence tomography monitoring for laser surgery of laryngeal carcinoma. Surg Oncol, 2001, 77(4): 253 – 258.
- 6 Wang Z, Rebeiz EE, Shapshay SM. Laser soft palate “stiffening”: an alternative to uvulopalatopharyngoplasty. Lasers Surg Med, 2002, 30: 40 – 43.
- 7 Robert AW, Gold M, Bene N, et al. Prospective clinical evaluation of 1440nm laser delivered by microarray for treatment of photoaging and scars. Drugs in Derm, 2006, 5(8): 740 – 747.
- 8 李文志,孙智,刘筑闻,等. 1.44 μm 波长脉冲 Nd:YAG 激光对犬胃壁组织作用的量效关系研究. 中国激光医学杂志, 2009, 18(1): 10 – 15.
- 9 李文志,孙智,刘筑闻,等. 新型波长(1.44 μm)与原波长(1.06 μm)脉冲 Nd:YAG 激光手术刀对大小肠切割的比较研究. 中国医疗设备, 2009, 24(2): 19 – 21. (收稿日期:2008-10-06)
(修回日期:2009-04-01)
(责任编辑:王惠群)